

使用により促進される。

(3) 熔解末期のスラグ (ΣFe) は酸素を使用した場合高い値を示しており、また酸素使用量が不適切な場合温度上昇が少く脱炭が促進される傾向があるので、適切な酸素使用基準、熔落条件について標準作業の設定を行つた。

(4) 以上の条件を考慮し、適切な酸素使用およびスラグ調整を行った場合、精錬期の鋼浴性状は酸素を使用しなかつた場合とほとんど差異は認められず、製品品質におよぼす影響は少いものと考えられる。

(5) 鋼浴中のガス成分中、水素および窒素に対しては酸素の使用は良好な影響をあたえる。

文 献

- 1) 太田, 他: 鉄と鋼第 54 回講演大会報告.
 - 2) J. A. Charles et alii: Oxygen in Iron and Steel Making (1956).

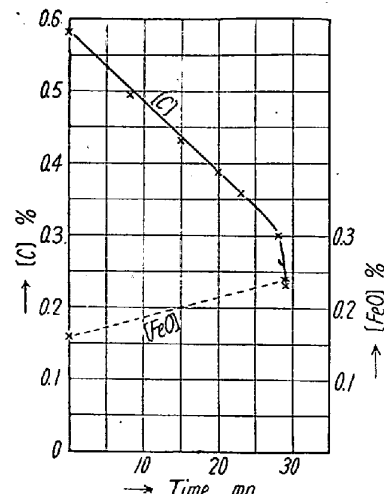


Fig. 1. Relation between the refining time and the concentration of FeO, C in the steel bath. (E 58-260, 10 t Lectromelt furnace)

(49) 2, 3 の 塩基性電気炉 における
熔鋼の脱炭反応速度について

On the Reaction Velocity of Decarburi- zation in the Steel Bath of Some Basic Electric Furnaces

K. Ikeda.

尼崎製鉄吳製鋼所 ○池田 健治

I. 緒 言

エル一式 30t 電気炉, 同 6t 電気炉およびレクトロメルト式 10t 電気炉の操業において酸化期間中 C および O の分析試料を採取してその量を知り各炉について脱炭反応の速度恒数をもとめた。またこれと関連してエル一式 6t 電気炉において種々の $[\Sigma C]$ に対する速度恒数および鋼浴中において起ると考えられる $3nFe + nC \rightleftharpoons (Fe_3C)_n$ 式反応の解離恒数をもとめた。

II. エル一式 30t 電氣炉同 6t 電氣炉およびレクト

ロメルト式 10t 電気炉における熔銅の脱炭反応速度

1. 図法により速度恒数をもとめる場合

鋼浴の分析によつて実験的に脱炭曲線と $[FeO]$ 曲線とをもとめる。これら両曲線より平均 $-[dC]/dt$ および平均 $[FeO][C]$ をもとめて前者を縦軸、後者を横軸にとつて両者の関係を図示し (a) 式における k_1 および k_2^{II} したがつて k_2^I をもとめる

$$-d[\text{C}]/dt = k_1[\text{FeO}][\text{C}] - k_2^{\text{II}} \dots \dots \dots \text{(a)}$$

ただし $k_2^{\text{II}} = k_2^{\text{I}} \cdot P_{\text{CO}}$

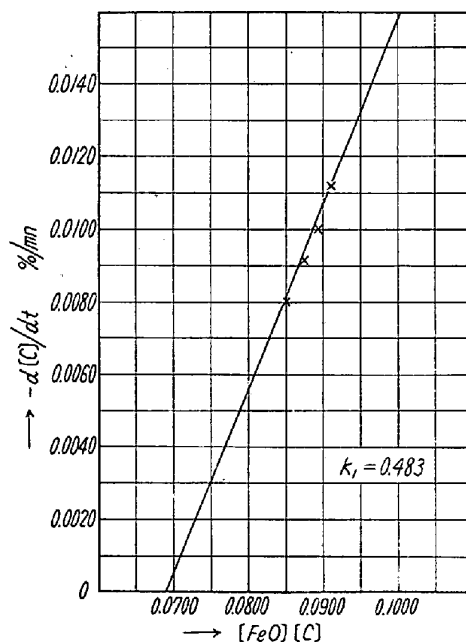


Fig. 2. Relation between $-d[C]/dt$ and $[FeO][C]$ (E 58-260, 10 lectromelt furnace)

Fig. 1 および Fig. 2 はその 1 例を示す。

斯くしてもとめられた速度恒数は Table 1 に示した
ようにエル一式 30 t 電気炉, 同 6 t 電気炉およびレク
トロメルト式 10 t 電気炉の順に大となつてゐる。同表
に掲げた数値は各炉について装入地金の全熔時における
熔鋼中の C が約 0.3% より約 0.7% までのもの 5 種あ
るいは 6 種の平均値を示す。

2. 計算式により速度恒数をもとめる場合

計算式を (b) および (c) とする

Table 1. Velocity constant obtained by drawing method.

Furnace	Velocity constant. (Average)		
	k_1	k_2^{II}	k_2^{I}
30 t Héroult furnace	0.205	0.01284	0.01167
6 t Héroult furnace	0.342	0.01258	0.01141
10 t Lectromelt furnace	0.472	0.01518	0.01374

$$\begin{aligned}
 k_1 &= t_2([C]_0 - [C]_1) - t_1([C]_0 - [C]_2) / \\
 &\quad t_2 \left\{ n \int_0^{t_1} [C] dt + n' \int_0^{t_1} t [C] dt \right\} \\
 &\quad - t_1 \left\{ n \int_0^{t_2} [C] dt + n' \int_0^{t_2} t [C] dt \right\} \dots \dots \dots (b) \\
 k_2^{(II)} &= ([C]_0 - [C]_1) \left\{ n \int_0^{t_2} [C] dt + n' \int_0^{t_2} t [C] dt \right\} \\
 &\quad - ([C]_0 - [C]_2) \left\{ n \int_0^{t_1} [C] dt + n' \int_0^{t_1} t [C] dt \right\} / \\
 &\quad t_2 \left\{ n \int_0^{t_1} [C] dt + n' \int_0^{t_1} t [C] dt \right\} \\
 &\quad - t_1 \left\{ n \int_0^{t_2} [C] dt + n' \int_0^{t_2} t [C] dt \right\} \dots \dots \dots (c)
 \end{aligned}$$

まとめられた速度恒数は Table 2 に示す通りであつて
Table 1 に掲げた数値に比して大差はない。

Table 2. Velocity constant obtained by the formula.

Furnace	Velocity constant. (Average)		
	k_1	k_2^{II}	k_2^{I}
30 t Héroult furnace	0.220	0.01556	0.01413
6 t Héroult furnace	0.339	0.01129	0.01029
10 t Lectromelt furnace	0.463	0.01417	0.01289

3. Table 1 と Table 2 とに示した速度恒数の平均値

Table 3. Average velocity constant.

Furnace	Velocity constant. (Average)		
	k_1	k_2^{II}	k_2^{I}
30 t Héroult furnace	0·213	0·01420	0·01290
6 t Héroult furnace	0·341	0·01194	0·01085
10 t Lectromelt furnace	0·468	0·01468	0·01331

III. エルー式 6t 電気炉における種々の [ΣC] に対する熔鋼の脱炭反応の速度恒数と解離恒数

鋼浴の脱炭が (d) 式に支配されるものと考えれば
 $[\Sigma C]$ に一定の値を与えて $[FeO]$ のみを変化せしめるこ
 とによって得られる $[FeO]/[\Sigma C]$ の値と $-d[\Sigma C]/dt$
 との関係は後者を縦軸に前者を横軸にとって図示せら
 れ、前述同様にしてその速度恒数をもとめることができ
 る。

$$-d[\Sigma C]/dt = \alpha [\text{FeO}] [\Sigma C] - k_2 [\text{Fe}] P_{\text{CO}} \quad (\text{d})$$

Fig. 3 はその 1 例を示し、もとめられた速度恒数は Fig. 4 にこれを示す。ただし Fig. 4 中の k_2^I は (e) 式によつてもとめた。

つぎに銅浴中において起きると考えられる (f) 式反

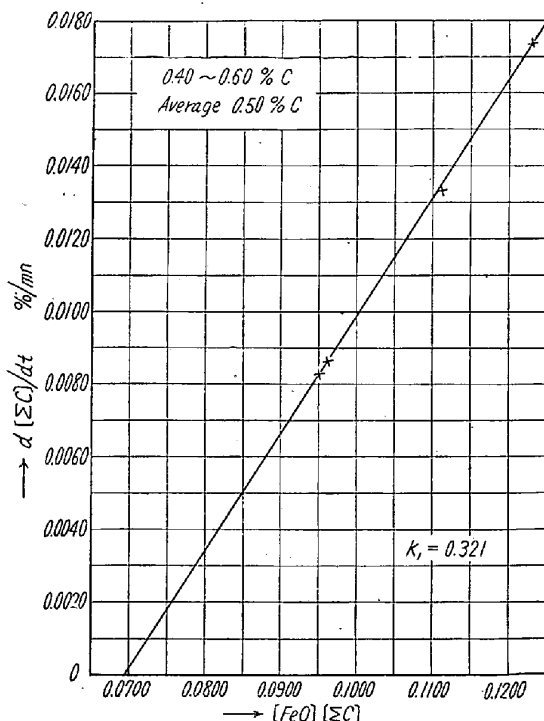


Fig. 3. Relation between $-d[\Sigma C]/dt$ and $[FeO][\Sigma C]$ (6t Héroult furnace)

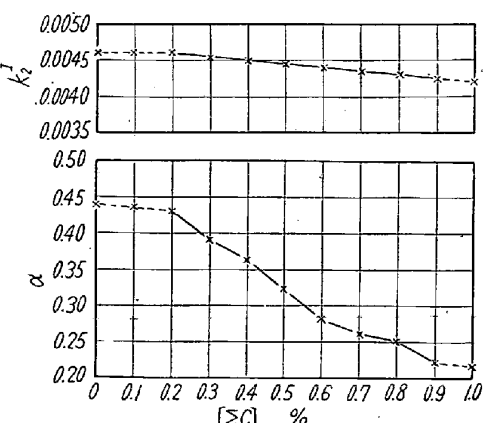


Fig. 4. Relation between $[\Sigma C]$ and α , k_2^1 .

